

Конденсированные среды и межфазные границы

Оригинальные статьи

DOI: <https://doi.org/10.17308/kcmf.2020.22/2526>

Поступила в редакцию 11.01.2020

Принята к публикации 15.02.2020

Опубликована онлайн 25.03.2020

ISSN 1606-867X

eISSN 2687-0711

УДК 532.135, 537.622, 546.05

Синтез, структура и магнитные свойства кобальт-цинкового наноферрита для магнитореологических жидкостей

© 2020 Ю. С. Гайдук^{✉,а}, Е. В. Коробко^б, К. А. Шевцова^б, Д. А. Котиков^а, И. А. Свito^а, А. Е. Усенко^а, Д. В. Иващенко^а, А. Фахми^с, В. В. Паньков^а

^аБелорусский государственный университет, пр. Независимости, 4, Минск 220030, Республика Беларусь

^бИнститут тепло- и массообмена им. А. В. Лыкова Национальной Академии Наук Беларусь, ул. П. Бровки, 15, Минск 220072, Республика Беларусь

^сУниверситет прикладных наук, ул. Мари-Кюри, Клеве 47533, Федеративная Республика Германии

Аннотация

Перспективным направлением применения микро- и наноразмерных магнитных частиц является создание магнитореологических жидкостей (МРЖ) для систем управляемых устройств гидравлической автоматики, в которых такие частицы являются компонентом комплексной дисперсной фазы. Наибольшее значение при поиске магнитных материалов для МРЖ имеет высокое значение напряжения сдвига в суспензиях на основе магнитных частиц приложении магнитного поля, а также низкие значения коэрцитивной силы. Целью работы являлось изучение структуры, морфологии, магнитных свойств нанопорошков твердого раствора Co_xZn_{1-x}Fe₂O₄ ферритов и оценка их эффективности в магнитных полях по реологическим свойствам МРЖ, изготовленным с их использованием.

Методом распылительной сушки с последующим обжигом в инертной матрице синтезирован порошкообразный кобальт-цинковый наноферрит. С использованием методов магнитного анализа, рентгенофазового анализа, просвечивающей электронной микроскопии, ИК-спектроскопии исследованы его структурные и микроструктурные особенности, магнитные свойства.

Порошкообразный наноферрит Co_{0,65}Zn_{0,35}Fe₂O₄, применяющийся в качестве наполнителя комплексной дисперсной фазы магнитореологических жидкостей, имеет следующие значения коэрцитивной силы H_c (10 K) = 10.8 kOe, H_c (300 K) = 0.4 kOe, а также приведенной остаточной намагниченности M_r/M_s (10 K) = 0.75, M_r/M_s (300 K) = 0.24. Предложенная методика синтеза позволяет получать закристаллизованные частицы ферритов с размерами, не превышающими 50 нм, обладающими при этом высоким напряжением сдвига в магнитореологических суспензиях.

Разработан метод управления магнитными свойствами кобальт-цинкового феррита как компонента магнитореологических суспензий путем замещения ионов кобальта в структуре Co_xZn_{1-x}Fe₂O₄ шпинели немагнитным двухвалентным катионом, в данном случае цинком. Установлено, что возможно уменьшать коэрцитивную силу и увеличивать намагниченность вплоть до состава максимальным содержанием кобальта, соответствующего Co_{0,65}Zn_{0,35}Fe₂O₄. Высокое значение напряжения сдвига (1 кПа) при сравнительно невысокой индукции магнитного поля (от 600 мТл и выше) позволяют считать полученный материал перспективным для использования в качестве дополнительного функционального наполнителя для магнитореологических суспензий демпферных устройств.

Ключевые слова: феррит кобальта-цинка, магнитореологические жидкости, магнитные наночастицы.

Для цитирования: Гайдук Ю. С., Коробко Е. В., Шевцова К. А., Котиков Д. А., Свito И. А., Усенко А. Е., Иващенко Д. В., Фахми А., Паньков В. В. Синтез, структура и магнитные свойства кобальт-цинкового наноферрита для магнитореологических жидкостей. Конденсированные среды и межфазные границы. 2020;22(1): 28–38. DOI: <https://doi.org/10.17308/kcmf.2020.22/2526>

✉ Гайдук Юлиан Станиславович, e-mail: j_hajduk@bk.ru



Контент доступен под лицензией Creative Commons Attribution 4.0 License.

1. Введение

Перспективным направлением применения микро- и наноразмерных магнитных частиц является создание магнитогеологических жидкостей (МРЖ) для систем управляемых устройств гидроавтоматики, в которых такие частицы являются компонентом комплексной дисперсной фазы [1, 2]. Такие жидкости находят практическое применение в качестве активной среды демпфирующих устройств, предназначенных для защиты транспортных средств, промышленного оборудования, зданий и сооружений от вибраций и других механических воздействий, а также для изготовления различных датчиков, измерительных элементов, электромеханических преобразователей, адресной доставки лекарств, диагностике заболеваний в биологии и медицине [3–5].

Чувствительные к магнитному полю объекты могут быть получены на основе жидкотекучих композиций с дисперсными твердофазными наполнителями, обладающими магнитными свойствами. При наличии внешнего магнитного поля в таких композициях формируются прочные структурные связи частиц вдоль вектора напряженности поля, что приводит к увеличению вязкости композиций и является необходимым условием создания управляемых демпфирующих устройств.

Магнитные свойства нанопорошков, которые могут быть компонентами этих жидкотекучих композиций, определяются химическим составом, типом кристаллической решетки, степенью ее дефектности, размером и формой частиц, морфологией (для структурно неоднородных частиц), степенью взаимодействия частиц с окружающей их жидкостью и другими частицами. Однако контролировать все эти факторы при синтезе примерно одинаковых по размерам и химическому составу наночастиц удается далеко не всегда, поэтому свойства однотипных наноматериалов могут значительно различаться.

При использовании наночастиц в демпфирующих устройствах и биомедицине желательно чтобы они находились в супермагнитном состоянии с отсутствием коэрцитивности, то есть обладали нулевой остаточной намагниченностью. В таком случае в обычном состоянии без воздействия магнитного поля они не будут образовывать агломераты за счет взаимного притяжения.

Известно, что зависимость коэрцитивной силы от размеров частиц имеет сложный характер (рис. 1) [6]. При уменьшении размеров объ-

емного образца доля поверхностной энергии его доменных границ возрастает, и она становится сравнимой с общей объемной энергией. В этом случае энергетически более эффективным считается однодоменное состояние образца или частицы. Такое состояние приведет к увеличению порогового поля перемагничивания частицы и, следовательно, к увеличению коэрцитивной силы. Это увеличение объясняется смешной механизма перемагничивания – вместо механизма, связанного со смещением доменных границ, проявляется механизм вращения вектора магнитного момента. С уменьшением размеров однодоменных частиц их коэрцитивная сила уменьшается, и при определённом размере ее величина равна нулю. Это явление объясняется влиянием тепловых флуктуаций на величину магнитной анизотропии, а, следовательно, и на коэрцитивную силу, так как энергия анизотропии частицы зависит от угла между направлениями намагниченности и легкой оси намагничивания. В суперпарамагнитном состоянии направление вектора магнитного момента будет спонтанно изменяться.

Известно, что для изолированных наночастиц с размерами 1–30 нм помимо температур Кюри и Нееля на шкале температур существует также температура блокировки: $T_B < T_C (T_N)$, где T_C – температура Кюри, T_N – температура Нееля, T_B – температура блокировки. Ниже температуры блокировки магнитный момент частицы сохраняет свою ориентацию в пространстве, и ансамбль частиц демонстрирует магнитный гистерезис. При температуре выше T_B частица переходит в суперпарамагнитное состояние. В области $T_B < T < T_C$ частица обладает спонтанной намагниченностью и ненулевым суммарным магнит-

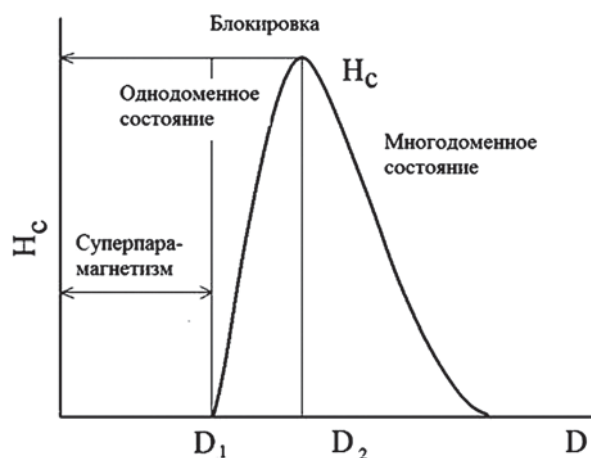


Рис. 1. Зависимость коэрцитивной силы от размера частиц

ным моментом, легко изменяющим ориентацию во внешнем поле [7].

Характерной проблемой создания эффективных наноразмерных магнитных частиц для МРЖ является существенно более низкая их удельная намагниченность по сравнению с частицами микронных размеров. Это связано с нарушением магнитного порядка в приповерхностном слое, составляющем ~ 1 нм. В таком слое магнитные моменты атомов обычно ведут себя так же, как в спиновых стеклах [8]. Поэтому стоит задача снизить вклад поверхностного слоя в величину удельной намагниченности материала за счет увеличения доли закристаллизовавшегося ядра наночастицы. С этой целью обычно используют методику высокотемпературного обжига, что, в свою очередь, приводит к агрегации частиц и существенному увеличению их размеров, а также к появлению остаточной намагниченности и увеличению коэрцитивной силы. Поэтому актуальным в настоящее время является поиск новых методов воздействия на микроструктуру нанообъектов. Например, в работе [9] рассмотрено применение импульсной фотонной обработки.

Гистерезисное поведение материалов с высокой коэрцитивной силой в переменном магнитном поле или при динамических сдвиговых нагрузках приводит к снижению их эффективности для использования в демпфирующих устройствах и для биомедицинского применения. Особенно критичным является влияние коэрцитивной силы при использовании высокочастотных полей или переменных механических нагрузок, когда перемагничивание частиц не успевает осуществляться из-за большого времени релаксации магнитных свойств.

Кобальт-цинковые ферриты активно исследуются в качестве перспективных ферримагнитных материалов с высокими магнитными характеристиками. Данные материалы обычно получают методом соосаждения [10–12] или с применением методики золь-гель [13], электростатического распыления [14] и другими способами. Целенаправленный синтез ферритов для различных приложений требует получения информации о распределении в кристаллической решетке катионов металлов, поскольку от такого распределения напрямую зависят магнитные характеристики образцов. Феррит цинка имеет нормальную кристаллографическую структуру в соответствии с распределением катионов по подрешеткам шпинели, в то время как феррит кобальта – обратимую. Известно, что струк-

турные отклонения приводят к неравновесному распределению катионов в ферритах и вызывают изменение их магнитных свойств [15, 16]. Таким образом, возможность влиять на катионное распределение становится инструментом для настройки магнитных свойств [17]. Для кобальт-цинковых ферритов, например, наличие немагнитного иона Zn^{2+} , имеющего сильное предпочтение к тетраэдрическим позициям, будет вызывать миграцию ионов Fe^{3+} в область октаэдрических позиций, что приводит к увеличению магнитного момента.

Нами разрабатываются дисперсные ферримагнитные наноразмерные частицы для приготовления МРЖ, содержащие помимо ферромагнитных частиц карбонильного железа наноразмерные ферримагнитные частицы, наличие которых позволяет усилить магнитоупрочняемость демпфирующих жидкостей [1, 2]. В качестве таких частиц выбраны нанопорошки кобальт-цинкового феррита, анализ характеристик которого проводится в данной работе. Целью работы являлось изучение структуры, морфологии, магнитных свойств нанопорошков твердого раствора Co_2Zn -ферритов и оценка их эффективности в магнитных полях по реологическим свойствам МРЖ, изготовленным с их использованием.

2. Экспериментальная часть

Установлено, что оптимальным составом твердого раствора Co_2Zn -феррита, исходя из наиболее высокого значения удельной намагниченности, является состав с мольным отношением (кобальт и цинк) 0.65:0.35 [18].

Навески $CoSO_4 \cdot 7H_2O$ массой 16.25 г, $ZnCl_2$ массой 4.26 г, $Fe(NO_3)_3$ массой 49.81 г растворяли в 1.5 л дистилированной воды. Раствор выдерживали в магнитной мешалке 5 минут для достижения полной гомогенизации. В полученный раствор солей при интенсивном перемешивании вливали раствор аммиака и при помощи индикаторной бумаги проводили контроль значения $pH = 11$. Суспензию нагревали до 90 °C. Выпавший осадок отмывали методом магнитной декантации, после чего готовили водную суспензию, состоящую из выпавшего на предыдущей стадии осадка и раствора $NaCl$ при массовом отношении (осадок – соль) 1 : 5.

Нанопорошок кобальт-цинкового феррита был получен методом распылительной сушки. Для этого суспензию распыляли при температуре 220 °C при скорости подачи 2.5 мл/мин с последующим высокотемпературным обжигом

в присутствии не вступающей в реакцию инертной матрицы (NaCl), которая предотвращает интенсивный рост кристаллитов при термообработке. Термообработка проводилась на воздухе при 740 °C на протяжении 8 ч. Метод распылительной сушки позволяет получать мелкодисперсные частицы солей и продуктов их разложения (100–300 °C). Последующий обжиг такого продукта вместе с NaCl приводит к формированию фазы Co_xZn_{1-x}-феррита. Впоследствии после удаления матрицы (NaCl) путем растворения в воде формируются неагломерированные мелкодисперсные магнитные частицы кобальт-цинкового феррита.

Рентгенографические исследования проводили с использованием дифрактометра ДРОН-3 (Co- $K_{\alpha 1}$ -излучение, $\lambda = 0.179026$ нм). Сканирование осуществлялось в интервале углов $2\theta = 6\text{--}90^\circ$. Размеры областей когерентного рассеяния (OKР), соответствующие физическим размерам кристаллитов в поликристаллических образцах, определяли по уширению дифракционных отражений (метод Шеррера).

Рентгеновская плотность рассчитывалась по формуле:

$$d_x = \frac{8M}{a^3 N_A}, \quad (1)$$

где M – формальная молекулярная масса; a – параметр кристаллической решётки, Å; N_A – число Авогадро.

Для оценки степени кристалличности образцов пользовались соотношением:

$$\left(1 - \frac{I_b}{I_{311}}\right) \times 100\%, \quad (2)$$

где I_{311} – интенсивность рефлекса шпинели, соответствующего кристаллографическому направлению 311; I_b – интенсивность фоновой линии рентгенограммы.

Плотность дислокаций δ (число линий на 1 м²) оценивали по формуле:

$$\delta = \frac{1}{D^2}. \quad (3)$$

Метод сканирующей электронной микроскопии применяли для изучения структуры поверхности поликристаллических и плёночных образцов на приборе LEO 1420. Одновременно методом энергодисперсионной рентгеновской спектроскопии (EDX-анализ) определяли соотношение концентрации атомов металлов в порошках ферритов и особенности их распределения на поверхности частиц.

ИК-спектры записывали с помощью спектрометра AVATAR 330 (Thermo Nicolet) в области волновых чисел (ν) 400–700 см⁻¹ с точностью ± 1 см⁻¹. Запись производили методом диффузационного отражения при помощи приставки Smart Diffuse Reflectance.

Исследования магнитных характеристик проводилось на установке Cryogen Free Measurement System Cryogenic Ltd, где были записаны петли гистерезиса при температурах 2 и 300 K и индукции магнитного поля $B_{\max} = 8$ Тл. Масса образца без капсулы составляла 0.09 г.

Зависимость напряжения сдвига (τ) суспензий от величины магнитной индукции приложенного магнитного поля измеряли на ротационном вискозиметре Physica MCR 301 Anton Paar в режиме постоянной скорости сдвига (связующее Mobil 22, скорость сдвига $\gamma = 200$ с⁻¹, $T = 20$ °C). Суспензии порошков в связующем были приготовлены при помощи ультразвукового диспергатора UZDM-2 с частотой 44 кГц.

3. Результаты и обсуждение

Выбор условий термообработки был обусловлен поиском оптимального сочетания времени проведения твердофазной реакции и относительно невысокой температуры обжига для предотвращения избыточного роста кристаллитов.

На рис. 2 представлены ПЭМ-изображения продукта обжига высушенной суспензии прекурсора в растворе NaCl после ее термообработки при 740 °C (8 ч) до (рис. 2а) и после (рис. 2б) отмычки от NaCl. До отмычки продукт представляет собой сферы, иногда неправильной формы, полые внутри и состоящие из агломерированных частиц твердой фазы прекурсора и NaCl. Размеры этих частиц лежат в пределах 0.5–0.9 мкм. Размеры сфер 1.5–3.5 мкм. Сферы являются продуктом, полученным в результате сушки капель, образующихся при распылении суспензии прекурсора. Вода в результате испарения смешает твердую фазу прекурсора на поверхность капель, где и образуется твердая оболочка с освобождением объема внутри сферы. В некоторых местах сфер появляются отверстия, образовавшиеся вследствие выхода паров воды.

После растворения в воде хлорида натрия высушенный порошок Co_{0.65}Zn_{0.35}Fe₂O₄ состоит из неагломерированных частиц с размерами до 50 нм. ПЭМ-изображения Co_{0.65}Zn_{0.35}Fe₂O₄ показывают, что частицы хорошо отделены друг от друга и не агломерированы. Средние размеры частиц этих частиц – 25–30 нм сравнимы с размером ОКР, рассчитанным по данным рентгено-

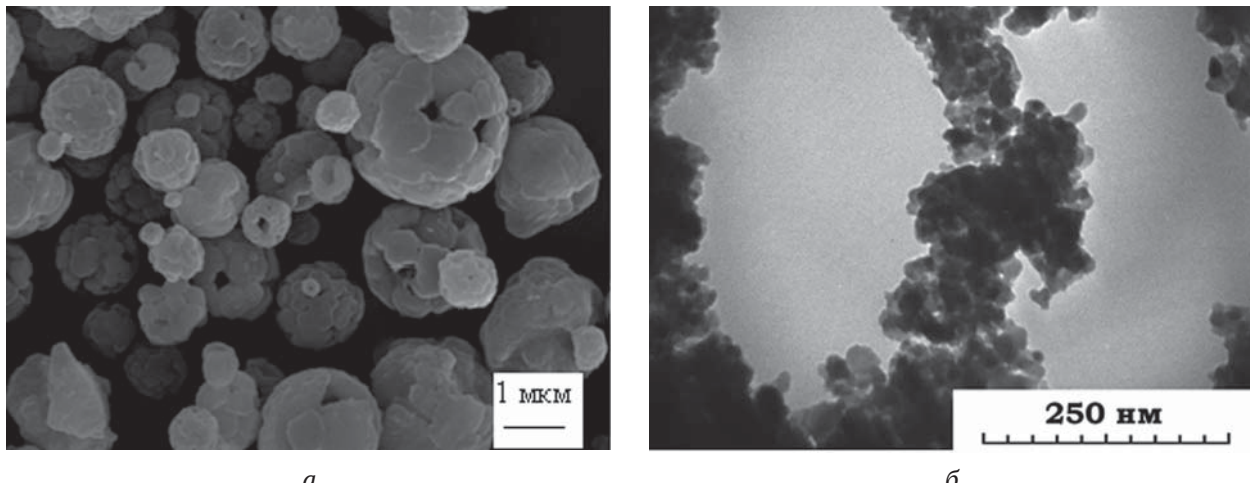


Рис. 2. а) СЭМ-изображения частиц $\text{Co}_{0.65}\text{Zn}_{0.35}\text{Fe}_2\text{O}_4$, в матрице NaCl после обжига при 740 $^{\circ}\text{C}$ (8 ч); б) ПЭМ-изображения частиц $\text{Co}_{0.65}\text{Zn}_{0.35}\text{Fe}_2\text{O}_4$ после отмыки от NaCl

фазового анализа (табл. 1). Форма частиц имеет огранку в отличие от частиц при использовании других способов получения нанопорошков Co, Zn -феррита в аналогичных температурных условиях. Результат обусловлен использованием синтеза отдельных частиц в инертной матрице NaCl , который обеспечивается предложенным нами методом.

Таблица 1. Структурные параметры кристаллической решётки твердого раствора $\text{Co}_{0.65}\text{Zn}_{0.35}\text{Fe}_2\text{O}_4$: (постоянная решётки a , размер области когерентного рассеяния D , плотность дислокаций δ , рентгеновская плотность d_x , степень кристалличности)

Постоянная решётки a , Å	Размер области когерентного рассеяния D , нм	Плотность дислокаций $\delta \times 10^2$ нм $^{-2}$	Рентгеновская плотность d_x , г/см 3	Степень кристалличности, %
8.3998	20	0.26	5.31	84.5

На рис. 3 представлены типичные рентгеноGRAMмы материала, полученного после термообработки. Видно, что после 8 ч обжига при температуре 740 $^{\circ}\text{C}$ твердофазная реакция с образованием шпинельной структуры феррита (пространственная группа $\text{Fd}3\text{m}$) полностью завершена. Позиции рефлексов и их относительные интенсивности подтверждают, что порошки

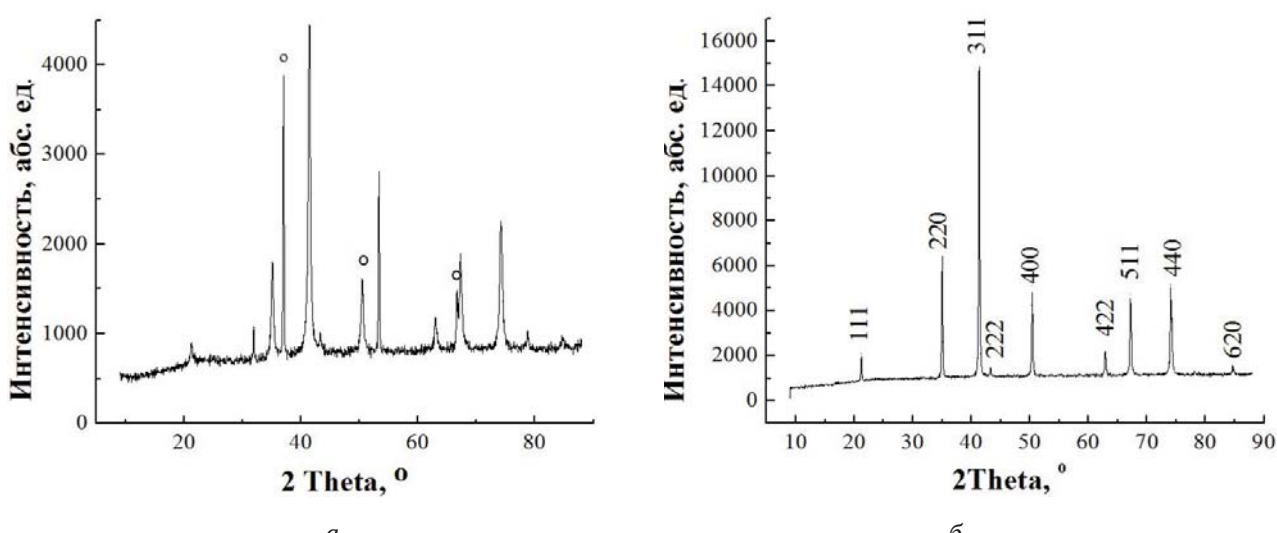


Рис. 3. Спектры РФА порошков твердого раствора $\text{Co}_{0.65}\text{Zn}_{0.35}\text{Fe}_2\text{O}_4$, после обжига при 740 $^{\circ}\text{C}$: а) в течение 2 ч; б) в течение 8 ч (рефлексы, относящиеся к Fe_2O_3 , отмечены значком •)

представляют собой только одну фазу со структурой шпинели. В табл. 1 приведены структурные параметры кристаллической решётки твердого раствора $\text{Co}_{0.65}\text{Zn}_{0.35}\text{Fe}_2\text{O}_4$, обожженного при 740 °C (8 ч). Состав наночастиц был определен методом энергодисперсионной спектроскопии. После 2 ч термообработки все еще обнаруживаются интенсивные рефлексы, относящиеся к фазе $\alpha\text{-Fe}_2\text{O}_3$ (гематит).

На рис. 4 представлен типичный спектр ИК-поглощения нанопорошков для состава $\text{Co}_{0.65}\text{Zn}_{0.35}\text{Fe}_2\text{O}_4$ после обжига.

О формировании шпинельной структуры ферритов свидетельствуют две основные полосы поглощения, которые представляют собой комбинированные полосы колебаний валентных связей Ме–О в области характеристических частот с экстремумами при 414 и 567 см⁻¹. Первая v_1 , обычно относится к октаэдрическим колебаниям металла $\text{Me}_{\text{окта}} \leftrightarrow \text{O}$, а полоса v_2 при 567 см⁻¹ соответствует внутренним валентным колебаниям металла в тетраэдрическом узле $\text{Me}_{\text{тетра}} \leftrightarrow \text{O}$ [12]. Высокая степень разрешения полос поглощения может отражать высокую упорядоченность кристаллической структуры твердого раствора.

Известно, что полосы поглощения при $v_4 = 1600$ см⁻¹ соответствуют колебаниям адсорбированной воды [17]. Поглощение вблизи 2100–2300 см⁻¹ может быть связано с адсорбированным из воздуха CO₂, полосы поглощения в интервале 1500–1600 см⁻¹ могут быть связаны с вибрационными колебаниями связи N=O. Слабые полосы поглощения вблизи 1000 см⁻¹ связываются с наличием следов нитрат-ионов [11]. Полосы поглощения вблизи значений волновых чисел 1640 и 3400 см⁻¹ связываются с колебаниями О–Н связей [12]. Таким образом, ИК-спектр образца подтверждает образование фазы кобальт-цинкового феррита и наличие воды в структуре материала.

На рис. 5 показано изменение намагнченности для нанопорошков $\text{Co}_{0.65}\text{Zn}_{0.35}\text{Fe}_2\text{O}_4$ в зависимости от приложенного поля. Все подготовленные образцы при комнатной температуре демонстрируют ферримагнитное поведение. Полученные значения удельной намагнченности порошка для $\text{Co}_{0.65}\text{Zn}_{0.35}\text{Fe}_2\text{O}_4$ совпадают с удельной намагнченностью кобальт-цинковых ферритов того же состава, полученных другими методами, например, методом соосаждения из водных растворов неорганических солей (40–70 Ам²·кг⁻¹, [19]), золь–гель методом (60–80 Ам²·кг⁻¹ [20], 60–90 Ам²·кг⁻¹, [21]).

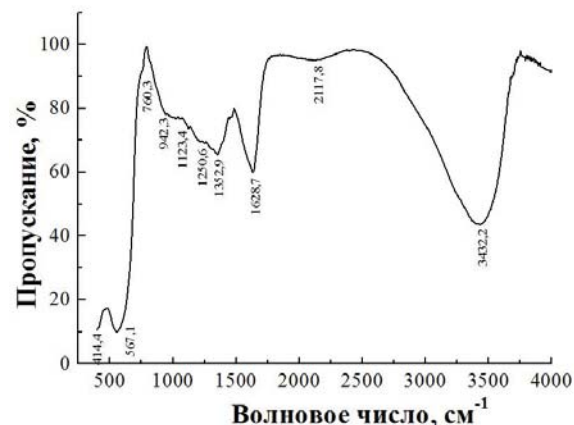


Рис. 4. ИК-спектр поглощения $\text{Co}_{0.65}\text{Zn}_{0.35}\text{Fe}_2\text{O}_4$ после обжига 740 °C в течение 8 ч

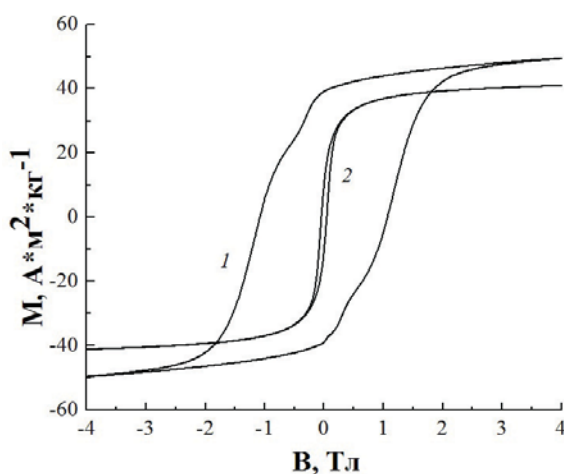


Рис. 5. Кривые зависимости намагнченности от напряженности магнитного поля для порошка $\text{Co}_{0.65}\text{Zn}_{0.35}\text{Fe}_2\text{O}_4$ при различных температурах 1 – 10 K, 2 – 300 K

Нами было показано, что с увеличением содержания цинка в составе кобальт-цинкового феррита отмечается рост намагнченности насыщения. Так для состава $\text{Co}_{0.65}\text{Zn}_{0.35}\text{Fe}_2\text{O}_4$ $M_s = 42.6 \text{ Ам}^2 \cdot \text{кг}^{-1}$, а для $\text{CoFe}_2\text{O}_4 M_s = 25.0 - 26.0 \text{ Ам}^2 \cdot \text{кг}^{-1}$.

Для ферримагнитных ферритов шпинелей магнитное упорядочение связано с сверхобменным взаимодействием между ионами октаэдрической (В) и тетраэдрической (А) подрешеток кристаллической структуры.

Обменные интегралы J_{AB} , J_{BB} и J_{AA} обычно отрицательны, и антиферромагнитное взаимодействие А–В будет более сильным, чем В–В и А–А взаимодействия. Это и приводит к ферримагнетизму соединения, при этом В–В и А–А взаимодействия подавляются. В каждой из от-

дельных подрешеток В–В и А–А спины магнитных ионов будут параллельны, но в двух разных подрешетках антипараллельны.

По мере того, как ион Zn^{2+} замещает ион Co^{2+} , он выталкивает ионы Fe^{3+} из тетраэдрических А-положений в октаэдрические В- положения. То есть, в то время как магнитный момент подрешетки А уменьшается из-за увеличения количества немагнитных ионов Zn^{2+} в ней, магнитный момент подрешетки В увеличивается из-за увеличения ионов Fe^{3+} в подрешетке В. Поэтому, когда в настоящей работе концентрация ионов Zn^{2+} увеличивается от 0 до 0.35, общая намагниченность ($M_{\text{окт.}} - M_{\text{тет.}}$) для $Co_{1-x}Zn_xFe_2O_4$ также увеличивается из-за увеличения межподрешеточного А–В сверхобменного взаимодействия между магнитными ионами подрешеток А и В. Магнитные моменты ионов Fe^{3+} в различных подрешетках кристаллической структуры шпинели (октаэдрической и тетраэдрической) не будут взаимно компенсироваться как раньше.

Тем не менее, при высоких уровнях легирования ионами Zn^{2+} ($x > 0.35$) начинается антиферромагнитное взаимодействие ионов Fe^{3+} , находящихся в соседних положениях в октаэдрической подрешетке, то есть В–В взаимодействие, что, как оказалось, приводит к уменьшению общего магнитного момента.

Объяснение этому явлению дает трех-подрешеточная модель Яфета–Киттеля (Yafet–Kittel) [22], где показывается, что с увеличением взаимодействия В–В, взаимодействие А–В ослабевает. При появлении в феримагнетике внутри подрешеточных В–В или А–А обменных взаимодействий, они уже начинают «конкурировать» с межподрешеточным А–В взаимодействием. Скорее всего, причиной такого усиления взаимодействия в подрешетках В или А является появление неколлинеарности спинов в подрешетке, приводящее к уменьшению значений экспериментального магнитного момента.

Согласно двухподрешеточной модели ферромагнетизма Нееля, теоретический магнитный момент μ_B на формульную единицу в n_B^T , описывается как:

$$n_B^m(x) = M_B(x) - M_A(x), \quad (4)$$

где $M_B(x)$ и $M_A(x)$ – магнитные моменты подрешетки В и А в μ_B соответственно, распределение катионов в $Co_{1-x}Zn_xFe_2O_4$ можно записать как:

$$(Zn_x^{2+} Fe_{1-x}^{3+})_A [Co_{1-x}^{2+} Fe_{1+x}^{3+}]_B O_4^{2-}. \quad (5)$$

В зависимости от концентрации Zn теоретические значения магнитного момента, n_B^T в

$Co_{1-x}Zn_xFe_2O_4$ рассчитываются с использованием распределения катионов и магнитных моментов ионов Fe^{3+} , Co^{2+} и Zn^{2+} , которые равны соответственно $4.85 \mu_B$, $2.78 \mu_B$ и $0 \mu_B$. Экспериментальные значения магнитных моментов (n_B^T), на единицу формулы в магнетронах Бора (μ_B), рассчитывали согласно соотношению:

$$n_B^e = \frac{M_w M_s}{5585}, \quad (6)$$

где M_w – молекулярная масса, M_s – намагниченность насыщения, а 5585 – магнитный фактор [22].

Оказалось, что теоретический магнитный момент линейно возрастает как функция концентрации Zn^{2+} , а экспериментальный магнитный момент, увеличивается с концентрацией Zn^{2+} в $Co_{0.65}Zn_{0.35}Fe_2O_4$ до $x = 0.35$, и затем постепенно уменьшается. Для состава $Co_{0.65}Zn_{0.35}Fe_2O_4$ $n_B^T = 4.95 \mu_B$, а $n_B^e = 3.01 \mu_B$.

В табл. 2 обобщены численные значения магнитных параметров, полученных для петель гистерезиса.

Таблица 2. Параметры кривых намагничивания частиц $Co_{0.65}Zn_{0.35}Fe_2O_4$ (намагниченность насыщения M_s , приведенная остаточная намагниченность M_r/M_s , коэрцитивная сила H_c)

T, K	$M_s, \text{Ам}^2 \cdot \text{кг}^{-1}$	M_r/M_s	H_c, kOe
10	52.47	0.75	10.9
50	52.42	0.72	9.0
100	51.67	0.67	5.9
200	48.09	0.47	1.7
300	42.57	0.24	0.46

Установлено, что по форме они близки к известным из литературных данных, относящихся к ферриту кобальта, и характеризуются значительной прямоугольностью, что отражается в значениях приведенной остаточной намагниченности [23]. Величины намагниченности насыщения M_s в интервале 5–300 К незначительно снижаются. Высокие значения приведенной остаточной намагниченности могут быть связаны с монодисперсностью частиц. Величины намагниченности M_s с ростом температуры в интервале 10–300 К незначительно снижаются, при этом значения приведенной остаточной намагниченности M_r/M_s (M_r – остаточная индукция, M_s – индукция насыщения) и коэрцитивной силы H_c с ростом температуры уменьшаются очень заметно, что следует связывать с влиянием тепловых флуктуаций намагниченности индивидуальных частиц [24].

Как известно, коэрцитивность связана с характеристической константой анизотропии ма-

териала. Наnanoуровне анизотропия зависит от различных факторов, таких как размер частиц, обменные смещения, дипольные взаимодействия, форма и кристаллическая природа частиц. Сопоставление значений H_c полученного Co_{0.65}Zn_{0.35}Fe₂O₄ наноферрита, с магнитными свойствами наноферрита кобальта позволяет сделать вывод о существенном уменьшении H_c при легировании Co_{0.65}Zn_{0.35}Fe₂O₄ цинком. Например, при 300 K значение коэрцитивной силы для нашего образца Co_{0.65}Zn_{0.35}Fe₂O₄ в 2.5 раза ниже, чем для CoFe₂O₄ при одинаковых размерах частиц [13]. Такие же результаты получены нами и для нанопорошков синтезированных методом аэрозольного пиролиза с такой же термообработкой, что и при сушке распылением. Для Co_{0.65}Zn_{0.35}Fe₂O₄ $H_c = 0.13$ kOe, а для CoFe₂O₄ $H_c = 0.37$ kOe [25]. Таким образом, для синтезированных нами наночастиц Co_{0.65}Zn_{0.35}Fe₂O₄ замещение атомов кобальта цинком приводит к уменьшению анизотропии, а, следовательно, и к снижению коэрцитивной силы.

Значения приведенной остаточной намагниченности (M_r/M_s) для Co_{0.65}Zn_{0.35}Fe₂O₄ от температуры представлены в табл. 2. Установлено, что они постепенно уменьшаются для более высоких температур. Модель Стоунера–Вольфарта (Stonerand–Wohlfarth) определяет, что для низких температур $M_r/M_s = 0.5$ в случае ансамблей случайно ориентированных одноосных невзаимодействующих частиц, а если анизотропия разупорядоченных и невзаимодействующих наночастиц будет кубическая, то $M_r/M_s = 0.83$. В нашем случае, для образца Co_{0.65}Zn_{0.35}Fe₂O₄ при температурах ниже 200 K, M_r/M_s явно больше 0.5, и здесь больше проявляется кубическая анизотропия.

Эти результаты показывают, что возможно регулировать и изменять коэрцитивность путем замены ионов кобальта в структуре Co_{0.65}Zn_{0.35}Fe₂O₄ на ионы цинка.

На петле гистерезиса при низкой температуре (рис. 5) мы также наблюдали искажение кривой зависимости намагниченности от напряженности поля рядом с остаточной намагниченностью в виде необычных перегибов. Существование таких перегибов связывают с двухфазным поведением петли гистерезиса, межчастичными взаимодействиями и т. д. [26, 27]. Нам также представляется, что здесь имеет место взаимодействие между жестким и мягким режимами анизотропии. Кроме того, данное явление может зависеть и от полидисперсности размеров, а также от формы частиц.

Для оценки эффективности синтезированных частиц измерены зависимости напряжения сдвига МРЖ, содержащей 20 масс.% порошка Co_{0.65}Zn_{0.35}Fe₂O₄, от скорости сдвига при отсутствии магнитного поля и от индукции магнитного поля при скорости сдвига 200 c⁻¹, T = 20 °C (рис. 6). Высокое значение напряжения сдвига (1000 Па) при сравнительно невысоких значениях индукции магнитного поля (от 600 мTl и выше) позволяет считать полученный материал пригодным для практического использования в качестве компонента наполнителя МРЖ. Известно, что ферримагнитные порошки с большим значением остаточной намагниченности могут демонстрировать существенно меньшее увеличение вязкости в магнитном поле. Так, например, порошок цинксодержащего оксида железа при M_s (300 K) = 95 Am²·kg⁻¹ обладает очень

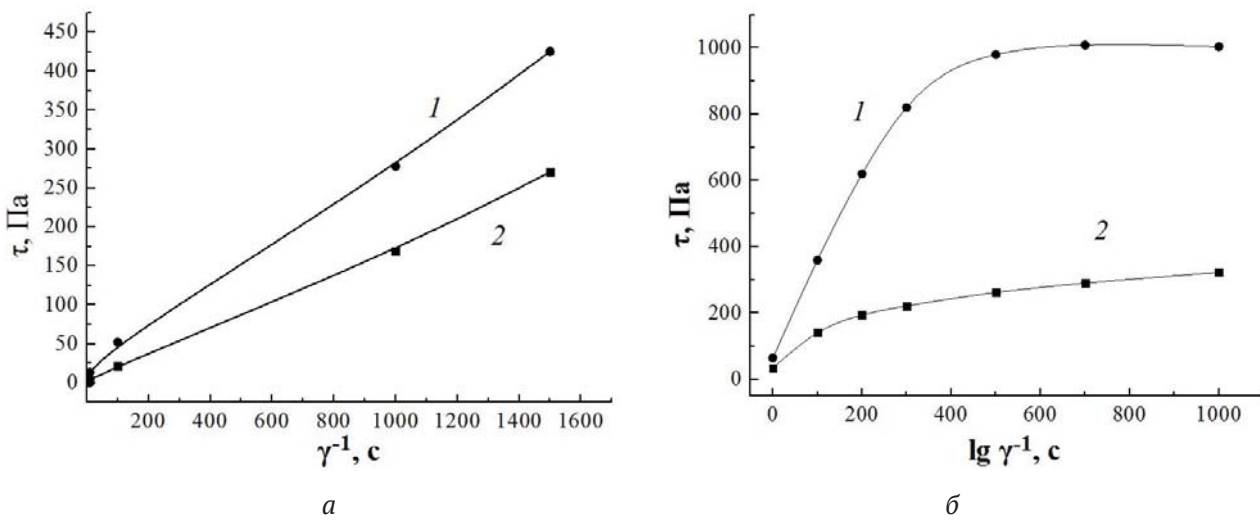


Рис. 6. Зависимость напряжения сдвига МРЖ, содержащей 20 масс.% магнитных наночастиц 1 – Co_{0.65}Zn_{0.35}Fe₂O₄; 2 – Mn_{0.3}Fe_{2.7}O₄ в масле Mobil 22: а) от скорости сдвига при отсутствии магнитного поля; б) в магнитном поле при скорости сдвига $\gamma = 200$ c⁻¹, T = 20 °C

незначительным изменением вязкости в магнитном поле (около 15 %) [1].

Из зависимости напряжения сдвига суспензии, приготовленной на основе порошка $\text{Co}_{0.65}\text{Zn}_{0.35}\text{Fe}_2\text{O}_4$, также видно, что напряжение сдвига суспензии возрастает при увеличении индукции магнитного поля и достигает максимального значения 1 кПа уже при 550 мТл, что значительно ниже, чем для большинства других известных материалов на основе легированных магнетитов и ферритов. При этом порошки $\text{Co}_{0.65}\text{Zn}_{0.35}\text{Fe}_2\text{O}_4$ обладают большой маслойемкостью и образуют достаточно устойчивые суспензии. Это позволяет использовать их в качестве стабилизирующего и модифицирующего наполнителя в магнитореологических суспензиях на основе карбонильного железа в синтетическом масле.

3. Выводы

Разработан метод управления магнитными свойствами кобальт-цинкового феррита, как компонента магнитореологических суспензий, путем замещения ионов кобальта в структуре Co_xZn_y -шпинели немагнитным двухвалентным катионом, в данном случае цинком. Установлено, что возможно уменьшать коэрцитивную силу и увеличивать намагниченность вплоть до состава с максимальным содержанием кобальта, соответствующего $\text{Co}_{0.65}\text{Zn}_{0.35}\text{Fe}_2\text{O}_4$. Для синтеза кобальт-цинкового феррита предложен метод распыльной сушки с последующим обжигом в матрице инертного компонента NaCl . Установлено, что такой подход обеспечивает получение однородных по размеру, менее 50 нм в диаметре, закристаллизованных наночастиц кобальт-цинкового феррита, со значением удельной намагниченности около $\sim 40 \text{ A}\cdot\text{m}^2\cdot\text{kg}^{-1}$, часть из которых находится в суперпарамагнитном состоянии. Проведена оценка эффективности порошка $\text{Co}_{0.65}\text{Zn}_{0.35}\text{Fe}_2\text{O}_4$ в составе МРЖ с индустриальным маслом Mobil 22 (20 % масс.), исследована зависимость напряжения сдвига от индукции магнитного поля. Высокое значение напряжения сдвига (1 кПа) при сравнительно невысокой индукции магнитного поля (от 600 мТл и выше) позволяют считать полученный материал перспективным для использования в качестве дополнительного функционального наполнителя для магнитореологических суспензий демпферных устройств.

Конфликт интересов

Авторы заявляют, что у них нет известных финансовых конфликтов интересов или личных

отношений, которые могли бы повлиять на работу, представленную в этой статье.

Список литературы

- Коробко Е. В., Паньков В. В., Котиков Д. А., Новикова З. А., Новик Е. С., Нанодисперсные наполнители на основе оксида железа для комплексной дисперсной фазы магнитоправляемых гидравлических жидкостей. *Наноструктуры в конденсированных средах: Сборник научных статей. 20–23 августа 2018, Минск*. Минск: Институт тепло- и массообмена им. А. В. Лыкова НАН Беларуси; 2018. с. 156–161.
- Dragašius E., Korobko E., Novikava Z., Sermyazhko E. Magnetosensitive Polymer composites and effect of magnetic field directivity on their properties. *Solid State Phenomena*. 2016;251: 3–7. DOI: <https://doi.org/10.4028/www.scientific.net/SSP.251.3>
- Joseph A., Mathew S. Ferrofluids: synthetic strategies, stabilization, physicochemical features, characterization, and applications. *ChemPlusChem*. 2014;79(10): 1382–1420. DOI: <https://doi.org/10.1002/cplu.201402202>
- Genc S., Derin B. Synthesis and rheology of ferrofluids: a review. *Current Opinion in Chemical Engineering*. 2014;3(2): 118–124. DOI: <https://doi.org/10.1016/j.coche.2013.12.006>
- Vekas L., Avdeev M. V., Bica D. Magnetic nano-fluids: synthesis and structure. In: Donglu Shi (ed.) *Nanoscience in biomedicine*. Springer Berlin Heidelberg; 2009. 729 p. DOI: <https://doi.org/10.1007/978-3-540-49661-8>
- Фролов Г. И., Бачина О. И., Завьялова М. М., Равочкин С. И., Магнитные свойства наночастиц 3d-металлов. *Журнал технической физики*. 2008;78(8): 101–106. Режим доступа: <https://journals.ioffe.ru/articles/viewPDF/9485>
- Baraton M. I. *Synthesis, functionalization, and surface treatment of nanoparticles*, LA: Am. Sci. Publ.; 2002. 236 p.
- Martínez B., Obradors X., Balcells L., Rouanet A., Monty C. Effect of aluminium doping on structural and magnetic properties of Ni-Zn ferrite nanoparticles. *Physical Review Letters*. 1998;80(1): 181–184. DOI: <https://doi.org/10.4236/wjnse.2015.53009>
- Миттова И. Я., Сладкопевцев Б. В., Миттова В. О., Nguyen Anh Tien, Копейченко Е. И., Хороших Н. В., Варначкина И. А., Формирование пленок системы $(\text{Y}_2\text{O}_3\text{--Fe}_2\text{O}_3)$ наноразмерного диапазона толщины на монокристаллическом InP. *Конденсированные среды и межфазные границы*. 2019;21(3): 406–418. DOI: <https://doi.org/10.17308/kcmf.2019.21/1156>
- Mayekar J., Dhar V., Radha S. Synthesis, characterization and magnetic study of zinc ferrite nanoparticles. *International Journal of Innovative Re-*

- search in Science, Engineering and Technology.* 2016;5(5): 8367–8371. DOI: <https://doi.org/10.15680/IJIR-SET.2016.0505268>
11. Jansi Rani B., Ravina M., Saravanakumar B., Ravi G., Ganesh V., Ravichandran S., Yuvakkumar R. Ferrimagnetism in cobalt ferrite (CoFe_2O_4) nanoparticles. *Nano-Structures & Nano-Objects.* 2018;14: 84–91. DOI: <https://doi.org/10.1016/j.nanoso.2018.01.012>
 12. Manouchehri S., Ghasemian Z., Shahbazi-Gahrouei D., Abdolah M. Synthesis and characterization of cobalt-zinc ferrite nanoparticles coated with DMSA. *Chem Xpress.* 2013;2(3): 147–152.
 13. Singhal S., Namgyal T., Bansal S., Chandra K. Effect of Zn Substitution on the magnetic properties of cobalt ferrite nano particles prepared via sol-gel route. *Journal of Electromagnetic Analysis and Applications.* 2010;2(6): 376–381. DOI: <https://doi.org/10.4236/jemaa.2010.26049>
 14. Rajendra S. G., Sang-Youn Ch., Rajaram S. M., Sung-Hwan H., Oh-Shim J. Cobalt ferrite nanocrystallites for sustainable hydrogen production application. *International Journal of Electrochemistry.* 2011;2011: 1–6. DOI: <https://doi.org/10.4061/2011/729141>
 15. Chandrashekhar A., Ladole V. Cobalt Ferrite Nanocrystallites for Sustainable Hydrogen Production Application. *International Journal of Chemical Science.* 2012;10(3): 1230–1234. DOI: <https://doi.org/10.4061/2011/729141>
 16. Raghuvanshi S., Kane S. N., Tatarchuk T. R., Mazaleyrat F. Effect of Zn addition on structural, magnetic properties, antistructural modeling of $\text{Co}_{1-x}\text{Zn}_x\text{Fe}_2\text{O}_4$ nano ferrite. *AIP Conference Proceedings* 1953. 2018; 030055. DOI: <https://doi.org/10.1063/1.5032390>
 17. Sawadzky G. A., Van der Woude F., Morrish A. H. Cation distributions in octahedral and tetrahedral sites of the ferrimagnetic spinel CoFe_2O_4 . *Journal of Applied Physics.* 1968; 39(2): 1204–1206. DOI: <https://doi.org/10.1063/1.1656224>
 18. Петрова Е. Г., Шавшукова Я. А., Котиков Д. А., Янушкевич К. И., Лазнев К. В., Паньков В. В. Применение метода термолиза распыленных суспензий для получения высококристаллических наночастиц ферритов-шпинелей. *Журнал Белорусского государственного университета. Химия.* 2019;1: 14–21. Режим доступа: <https://journals.bsu.by/index.php/chemistry/article/view/1258>
 19. Ranjani M., Jesurani S., Priyadarshini M., Vennila S. Sol-gel synthesis and characterization of zinc substituted cobalt ferrite magnetic nanoparticles. *International Journal of Advanced Research.* 2016;4(7): 53–58. DOI: <https://doi.org/10.21474/ijar01/1148>
 20. Lin Q., Xu J., Yang F., Lin J., Yang H., He Y. Magnetic and m³ssbauer spectroscopy studies of zinc-substituted cobalt ferrites prepared by the sol-gel method. *Materials.* 2018;11(10): 1799. DOI: <https://doi.org/10.3390/ma11101799>
 21. Copolla P., da Silva F.G., Gomide G., Paula F. L. O., Campos A. F. C., Perzynski R., Kern C., Depyrot G., Aquino R. Hydrothermal synthesis of mixed zinc-cobalt ferrite nanoparticles: structural and magnetic properties. *Journal of Nanoparticle Research.* 2016;18(138): 1–15. DOI: <https://doi.org/10.1007/s11051-016-3430-1>
 22. Yafet Y., Kittel C. Antiferromagnetic arrangements in ferrites. *Physical Review Journal.* 1952;87(2): 290–294. DOI: <https://doi.org/10.1103/PhysRev.87.290>
 23. Praveena K., Sadhana K. Ferromagnetic properties of zn substituted spinel ferrites for high frequency applications. *International Journal of Scientific and Research Publications.* 2015;5(4): 1–21. Режим доступа: <http://www.ijsrp.org/research-paper-0415.php?rp=P403877>
 24. Комогорцев С. В., Патрушева Т. Н., Балаев Д. А., Денисова Е. А., Пономаренко И. В. Наночастицы кобальтового феррита на основе мезопористого диоксида кремния. *Письма в ЖТФ.* 2009;35(19): 6–11. Режим доступа: <https://journals.ioffe.ru/articles/viewPDF/13984>
 25. Комогорцев С. В., Исхаков Р. С., Балаев А. Д., Кудашов А. Г., Окотруб А. В., Смирнов С. И. Магнитные свойства ферромагнитных наночастиц Fe_3C , капсулированных в углеродных нанотрубках. *ФТТ.* 2007;49(4): 700–703. Режим доступа: <https://journals.ioffe.ru/articles/viewPDF/3003>
 26. Иващенко Д. В., Петрова Е. Г., Миттова И. Я., Иванец А. И., Паньков В. В. Синтез наночастиц кобальт-цинкового феррита методом модифицированного аэрозольного пиролиза. *Альтернативные источники сырья и топлива – 2019: Материалы VII Международной научно-технической конференции, Минск, 28–30 мая 2019.* Минск: 2019. с. 120.
 27. Gözüak, F., Koseoglu, Y., Baykal, A., Kavas H. Synthesis and characterization of $\text{Co}_x\text{Zn}_{1-x}\text{Fe}_2\text{O}_4$ magnetic nanoparticles via a PEG-assisted route. *Journal of Magnetism and Magnetic Materials.* 2009;321(14): 2170–2177. DOI: <https://doi.org/10.1016/j.jmmm.2009.01.008>
 28. Abdallah H. M. I., Moyo T., Ezekiel I. P., Osman N. S. E. Structural and magnetic properties of $\text{Sr}_{0.5}\text{Co}_{0.5}\text{Fe}_2\text{O}_4$ nanoferrite. *Journal of Magnetism and Magnetic Materials.* 2014;365(9): 83–87. DOI: <https://doi.org/10.1016/j.jmmm.2014.04.041>

Информация об авторах

Гайдук Юлиан Станиславович, н. с., Белорусский государственный университет, Минск, Республика Беларусь; e-mail: j_hajduk@bk.ru. ORCID iD: <https://orcid.org/0000-0003-2737-0434>.

Коробко Евгения Викторовна, д. т. н., профессор, заведующий лабораторией, Институт тепло- и массообмена имени А.В. Лыкова Национальной академии наук Беларусь, Минск, Республика Бела-

русь; e-mail: evkorobko@gmail.com. ORCID iD: <https://orcid.org/0000-0002-2870-9658>.

Шевцова Кристина Александровна, инженер, Институт тепло- и массообмена имени А.В.Лыкова Национальной академии наук Беларусь, Минск, Республика Беларусь; e-mail: kristina-shevcova@lenta.ru. ORCID iD: <https://orcid.org/0000-0001-7360-5965>.

Котиков Дмитрий Анатольевич, к. х. н., доцент, доцент, Белорусский государственный университет, Минск, Республика Беларусь; e-mail: kotsikau@bsu.by. ORCID iD: <https://orcid.org/0000-0002-3318-7620>.

Свито Иван Антонович, к. ф.-м. н., с. н. с. НИЛ энергоэффективных материалов и технологий, кафедры энергофизики Белорусского государственного университета, Минск, Республика Беларусь; e-mail: ivansvito184@gmail.com. ORCID iD <https://orcid.org/0000-0002-4510-0190>.

Усенко Александра Евгеньевна, к. х. н., доцент кафедры физической химии, Белорусский государственный университет, Минск, Республика Беларусь; e-mail: usenka@bsu.by. ORCID iD: <https://orcid.org/0000-0002-2251-619>.

Иващенко Дмитрий Владимирович, м. х. н., Белорусский государственный университет, Минск, Республика Беларусь; e-mail: ivashenkodm@gmail.com. ORCID ID: <https://orcid.org/0000-0002-9149-7213>.

Фахми Амир, доктор, профессор, Университет прикладных наук, Клеве, Германия; e-mail: Amir.Fahmi@hochschule-rhein-waal.de. ORCID iD: <https://orcid.org/0000-0001-5283-4646>.

Паньков Владимир Васильевич, д. х. н., профессор, заведующий кафедрой физической химии Белорусского государственного университета; e-mail: pankov@bsu.by. ORCID iD: <https://orcid.org/0000-0001-5478-0194>.

Все авторы прочитали и одобрили окончательный вариант рукописи.